



第二章 非线性器件的分析方法

2.1 概述

2.2 指数律特性分析

2.3 折线律特性分析

2.4 差分特性分析

2.5 平方律特性和钳位平方律特性

2.6 时变参量分析法

2.1 概述



中国科学技术大学
University of Science and Technology of China

非线性器件物理特性复杂，线性电子线路的分析方法不适用于非线性电子线路，需要解非线性方程或时变系数的线性微分方程。

对策：对器件数学模型和电路工作条件进行合理近似，工程上用近似分析方法获得具有实用意义的结果。

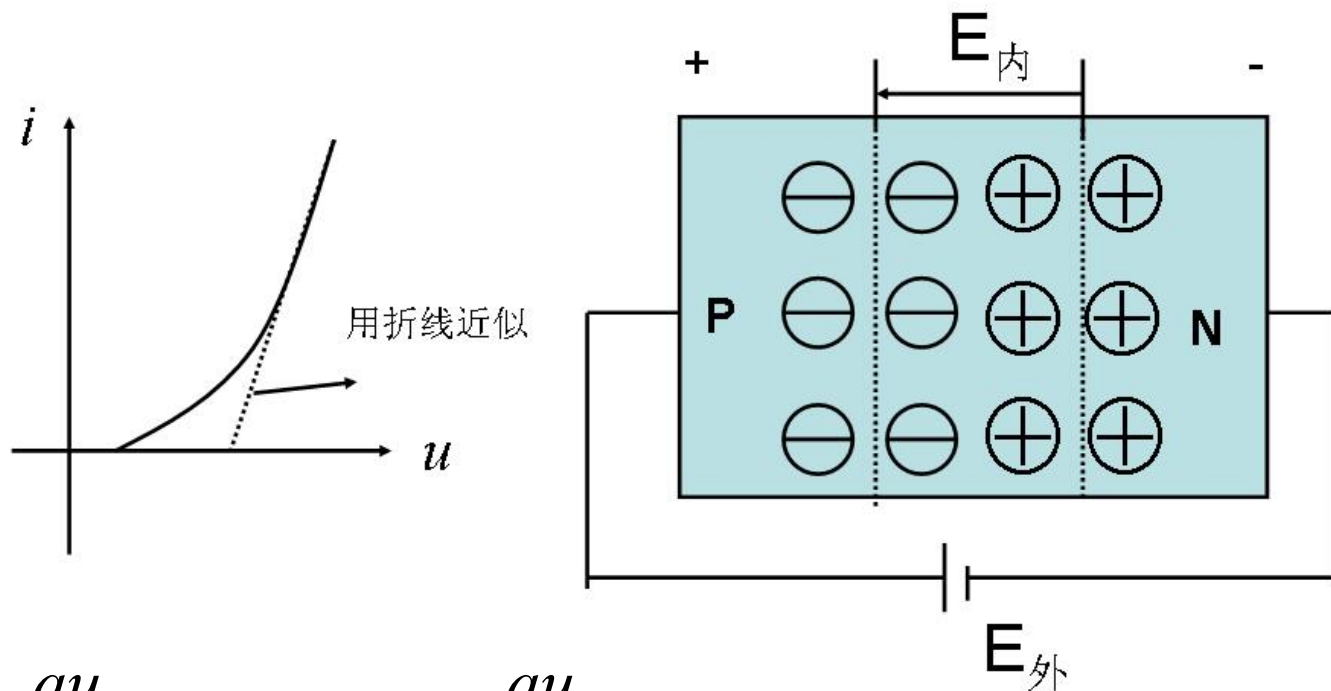
近似分析法：在一定的近似假设下，用于真实的非线性器件特性充分拟合的，在数学上比较易于处理的近似特性代替真实的特性，对此近似特性展开分析，得到初步结论，必要时再做修订和补充。

优点：简单实用，基本满足“粗略描述非线性电子线路的特点和作用，为电路设计和调整提供理论指导”的要求。

PN结特性近似分析示例



中国科学技术大学
University of Science and Technology of China



$$i = I_s \left[\exp\left(\frac{qu}{kT}\right) - 1 \right] \approx I_s \exp\left(\frac{qu}{kT}\right)$$

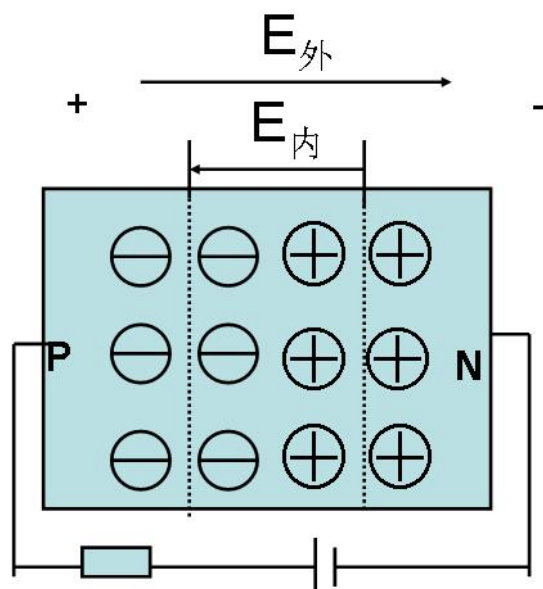
- 1) 将PN结近似看成一个非线性电阻，忽略非线性电容的影响；
- 2) 特性曲线用折线近似；
- 3) 用几段折线近似逼近。

2.2 指数律特性分析

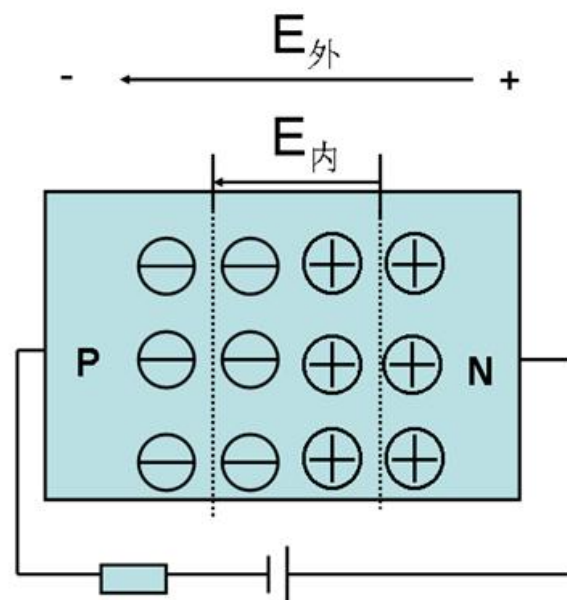


适用于以PN结为核心的非线性电阻。PN结特性决定了各种与PN结有关的器件的特性，如二极管、晶体管等。

1. PN结的单向导电性



正向偏置



反向偏置

2.2 指数律特性分析



中国科学技术大学
University of Science and Technology of China

正向导通时，PN结伏安特性方程近似指数关系：

$$i = I_s [\exp(\frac{qu}{kT}) - 1] \approx I_s \exp(\frac{qu}{kT}) = I_s \exp(\frac{u}{U_r})$$

I_s – 反向饱和电流；常温下： $\frac{kT}{q} = 26mV = U_r$

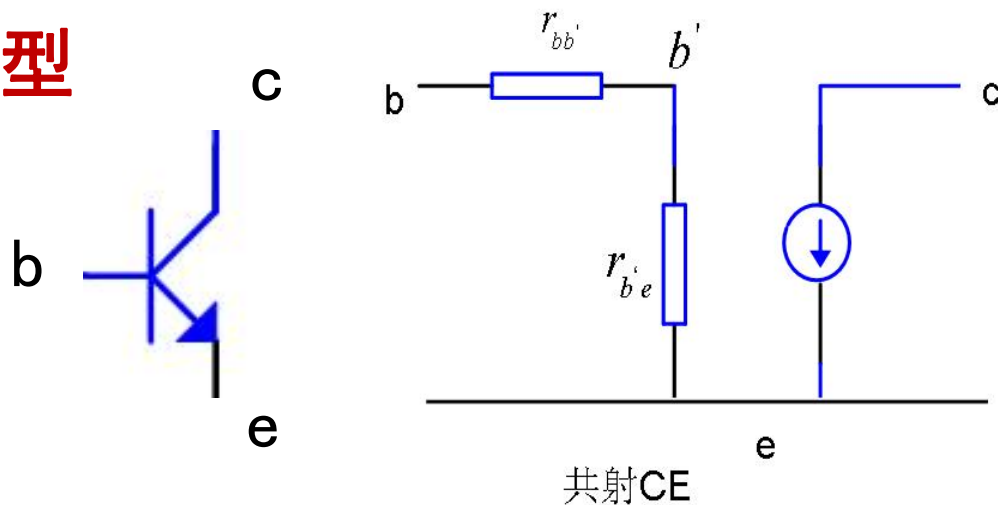
I_s ：锗 $10^{-7} \sim 10^{-8} A$ ，硅 $10^{-14} \sim 10^{-16} A$ ，

（考虑到半导体材料的表面效应，硅PN结 $I_s = 10^{-9} A$ 数量级）

2.2 指数律特性分析



2. 晶体管（三极管）模型



$r_{bb'}$ - 基区体电阻 $\begin{cases} \text{高频管 (PN结很薄): } 20 \sim 70 \Omega \\ \text{低频管: 几百 } \Omega \end{cases}$

$r_{b'e}$ - 发射结电阻 (PN结), $r_{b'e}$ = 可达几千 Ω

$$i_E = I_{ES} \exp\left(\frac{u_{b'e}}{U_r}\right) \overset{\text{高频}}{\approx} I_{ES} \exp\left(\frac{u_{be}}{U_r}\right)$$

高频下, $r_{bb'} < r_{b'e}$, 可忽略 $r_{bb'}$

2.2 指数律特性分析



中国科学技术大学
University of Science and Technology of China

3. 指数律特性分析

设加在晶体管b, e间的电压为：

$$u_{BE} = U_{BE} + U_{be} \cos \omega t$$

则有：

$$i_E = I_{ES} \exp\left(\frac{U_{BE} + U_{be} \cos \omega t}{U_r}\right) = I_{ES} \exp\left(\frac{U_{BE}}{U_r}\right) \exp(x \cos \omega t)$$

$$= I_{ES} \exp\left(\frac{U_{BE}}{U_r}\right) \exp(x) \frac{\exp(x \cos \omega t)}{\exp(x)} = I_{EP} W_x(\omega t)$$

$$x = \frac{U_{be}}{U_r} - \text{归一化交流电压幅度}$$

$$I_{EP} = I_{ES} \exp\left(\frac{U_{BE}}{U_r}\right) \exp(x) \quad (\cos \omega t = 1) - \text{发射极电流峰值}$$

2.2 指数律特性分析

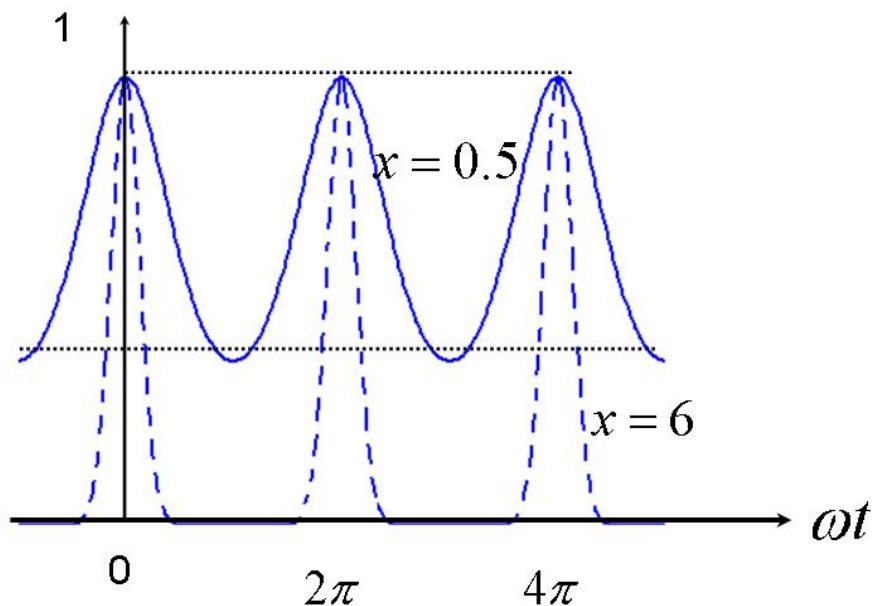


$$W_x(\omega t) = \frac{\exp(x \cos \omega t)}{\exp(x)} = \frac{i_E}{I_{EP}} - \text{归一化发射极电流}$$

-最大值为1，与幅度和时间有关，波形如图所示。

周期性钟形脉冲

与输入电压周期性相同



x 越大钟形脉冲越窄（苗条）， x 越小，发射极电流越逼近正弦信号；

即输入电压幅度越大，发射极电流失真越严重。

2.2 指数律特性分析



中国科学技术大学
University of Science and Technology of China

将周期性电流 i_E 展开成傅里叶级数：

$$\begin{aligned} i_E(\omega t) &= I_{EP} W_x(\omega t) = \sum_{n=0}^{\infty} I_{En} \cos n\omega t \\ &= I_{E0} + I_{E1} \cos \omega t + I_{E2} \cos 2\omega t + \dots + I_{En} \cos n\omega t + \dots \end{aligned}$$

其中：

$$\begin{aligned} I_{E0} &= \frac{1}{2\pi} \int_0^{2\pi} i_E(\omega t) d\omega t = \frac{1}{2\pi} \int_0^{2\pi} I_{EP} W_x(\theta) d\theta \\ &= \frac{I_{EP}}{e^x} \left[\frac{1}{2\pi} \int_0^{2\pi} e^{x \cos \theta} d\theta \right] \\ &= \frac{I_{EP}}{e^x} I_0(x) - \text{零阶 Bessel 函数} \end{aligned}$$

$$\begin{aligned} I_{En} &= 2 \times \frac{1}{2\pi} \int_0^{2\pi} I_{EP} W_x(\theta) \cos n\theta d\theta \\ &= \frac{2I_{EP}}{e^x} \left[\frac{1}{2\pi} \int_0^{2\pi} e^{x \cos \theta} \cos n\theta d\theta \right] \\ &= \frac{2I_{EP}}{e^x} I_n(x) - n \text{ 阶第一类变型 Bessel 函数} \end{aligned}$$

2.2 指数律特性分析



中国科学技术大学
University of Science and Technology of China

Bessel函数性质

$x \rightarrow 0$

$$\begin{cases} I_0(x) \rightarrow 1 \\ I_1(x) \rightarrow \frac{x}{2} + \frac{x^3}{16} \approx \frac{x}{2} \\ I_2(x) \rightarrow \frac{x^2}{8} + \frac{x^4}{96} \\ I_n(x) \rightarrow 0, \text{ 且 } I_n(x) \ll I_1(x) (n > 1) \end{cases}$$

$x \rightarrow \infty$

$$\begin{cases} W_x(\omega t) \text{ 为非常窄的钟形脉冲} \\ I_n(x) = I_1(x) = 2I_0(x) \end{cases}$$

2.2 指数律特性分析



中国科学技术大学
University of Science and Technology of China

i_E 可进一步表示为:

$$\begin{aligned} i_E(\omega t) &= I_{E0} + \sum_{i=1}^{\infty} I_{En} \cos n\omega t \\ &= I_{E0} + \sum_{i=1}^{\infty} \frac{2I_{E0}}{I_0(x)} I_n(x) \cos n\omega t \\ &= I_{E0} \left[1 + \sum_{n=1}^{\infty} \frac{2I_n(x)}{I_0(x)} \cos n\omega t \right] \end{aligned}$$
$$\begin{aligned} I_{En} &= \frac{2I_{EP}}{e^x} I_n(x) = \frac{2I_{EP}I_0(x)}{e^x I_0(x)} I_n(x) \\ &= \frac{2I_{E0}}{I_0(x)} I_n(x) \end{aligned}$$

1) 当输入为 ω 时, 响应为无穷个频率 $n\omega$

(非线性器件的频率变换作用)

2.2 指数律特性分析



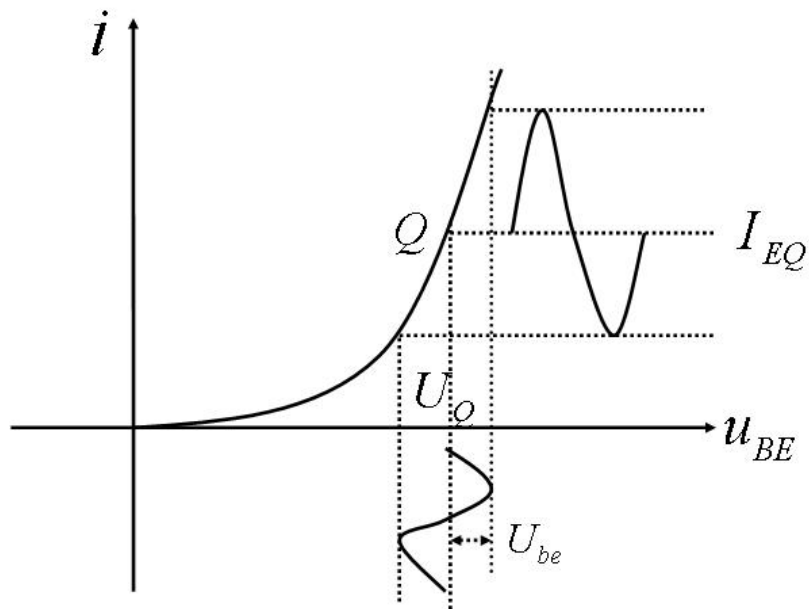
2) 直流分量 I_{E0} 与 U_{BE} 和 x 有关

$$I_{E0} = \frac{I_{EP}}{e^x} I_0(x) = \frac{I_{ES} e^{\frac{U_{BE}}{U_r}} e^x}{e^x} I_0(x) = I_{ES} e^{\frac{U_{BE}}{U_r}} I_0(x)$$

3) 激励信号 x 幅度很小时

$$I_{E0} = I_{EQ}$$

任何一个曲线在足够小的范围观察均可看成直线，可用工作点处的切线来代替，响应近似为正弦波。



2.2 指数律特性分析



$$x \rightarrow 0: I_{E0} = \frac{I_{EP}}{e^x} I_0(x) = I_{ES} e^{\frac{U_{BE}}{U_r}} = I_{EQ}$$

$$\begin{aligned} i_E(\omega t) &= I_{E0} \left[1 + \sum_{i=1}^{\infty} \frac{2I_n(x)}{I_0(x)} \cos n\omega t \right] \\ &= I_{EQ} \left[1 + \frac{2I_1(x)}{I_0(x)} \cos \omega t \right] \\ &= I_{EQ} \left[1 + \frac{2x}{2} \cos \omega t \right] \\ &= I_{EQ} \left[1 + \frac{U_{be}}{U_r} \cos \omega t \right] \end{aligned}$$

$$\begin{aligned} i_C(\omega t) &= \alpha i_E \\ &= \alpha I_{EQ} \left[1 + \frac{U_{be}}{U_r} \cos \omega t \right] \\ &= \alpha I_{EQ} + \frac{\alpha I_{EQ}}{U_r} U_{be} \cos \omega t \\ &= I_{CQ} + g_{mQ} u_{be} \\ &= I_{CQ} + i_c(\text{交流成分}) \end{aligned}$$

当 x 很小时，指数律器件的作用如同跨导为 g_{mQ} 的线性放大器，即指数律器件退化成一个线性器件。

实际上，任何一个非线性器件，只要输入足够小，都退化成一个线性器件。

2.2 指数律特性分析



4) 激励信号 x 幅度很大

$$I_{E0} = I_{ES} e^{\frac{U_{BE}}{U_r}} I_0(x) = I_{EQ} I_0(x) > I_{EQ}$$

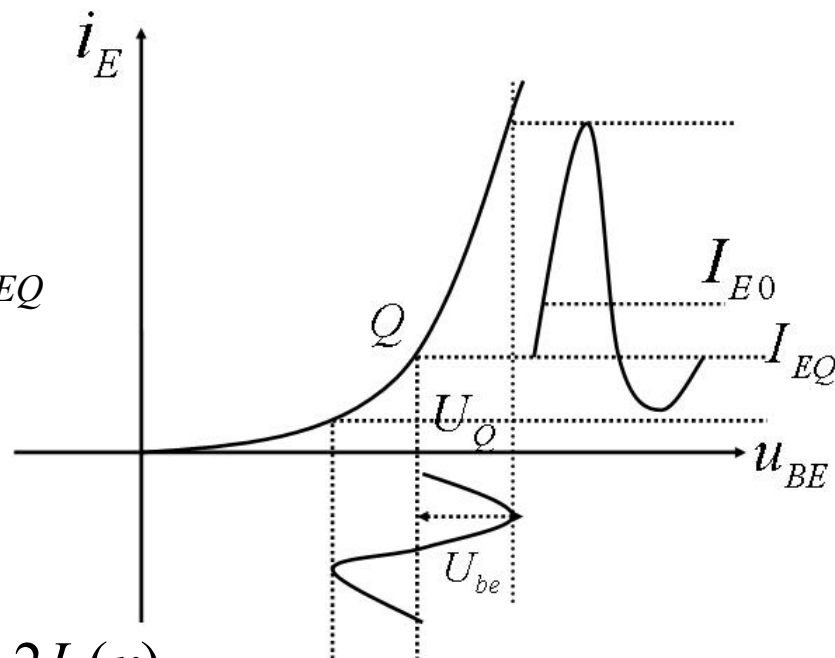
均值电流 $I_{E0} >$ 静态电流 I_{EQ}

只考虑基波电流有:

$$i_{C1} = \alpha i_{E1} = \alpha I_{E0} \frac{2I_1(x)}{I_0(x)} \cos \omega t = x \alpha I_{E0} \frac{2I_1(x)}{xI_0(x)} \cos \omega t$$

$$= \frac{1}{U_r} \alpha I_{E0} \frac{2I_1(x)}{xI_0(x)} U_{be} \cos \omega t$$

$$= \frac{1}{U_r} \alpha I_{E0} \frac{2I_1(x)}{xI_0(x)} u_{be} = G_{m1}(x) u_{be}$$



等效基波电导

$$G_{m1}(x) = \frac{\alpha I_{E0}}{U_r} \frac{2I_1(x)}{xI_0(x)}$$

2.2 指数律特性分析



中国科学技术大学
University of Science and Technology of China

大信号情况下，响应电流中基波分量的大小与输入信号的幅度成非线性关系：

$$I_{C1} = G_{m1}(x)U_{be}$$

$$G_{m1}(x) = \frac{\alpha I_{E0}}{U_r} \frac{2I_1(x)}{xI_0(x)} - \text{等效基波跨导, 与} x \text{ 有关}$$

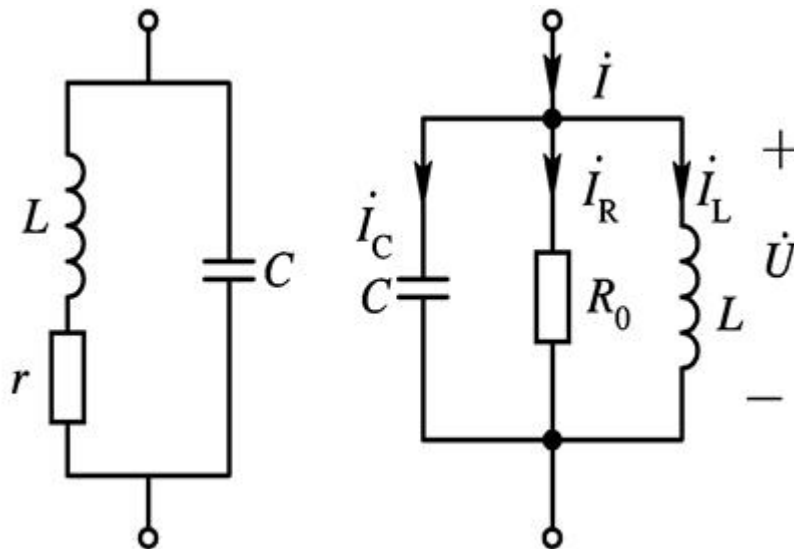
当输入信号幅度增大时，发射极或集电极电流失真随输入信号的增大而增大，必须用窄带滤波器（LBF）才能从失真电流中恢复出基波或某次谐波电流。



4. 补充知识点：选频网络

滤波器，又称**选频网络**，滤除无用信号，让有用信号通过。低频电路采用RC滤波器，高频电路采用LC滤波器。

带通滤波器（RLC并联谐振回路）

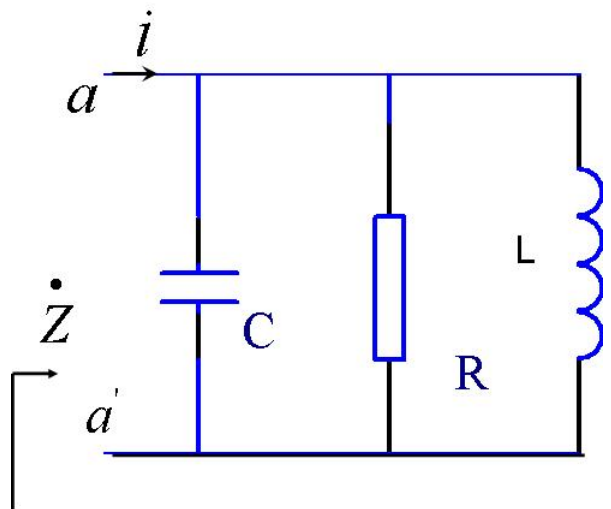


2.2 指数律特性分析



中国科学技术大学
University of Science and Technology of China

带通滤波器（RLC并联谐振回路）



固有谐振频率：

$$\omega_0 = \frac{1}{\sqrt{LC}} \text{ rad / s}$$

带宽：

$$BW = \frac{1}{RC}$$

特性阻抗：

谐振时回路的感抗或容抗

$$\rho = \omega_0 L = \frac{1}{\omega_0 C}$$

回路品质因数：回路谐振时电感

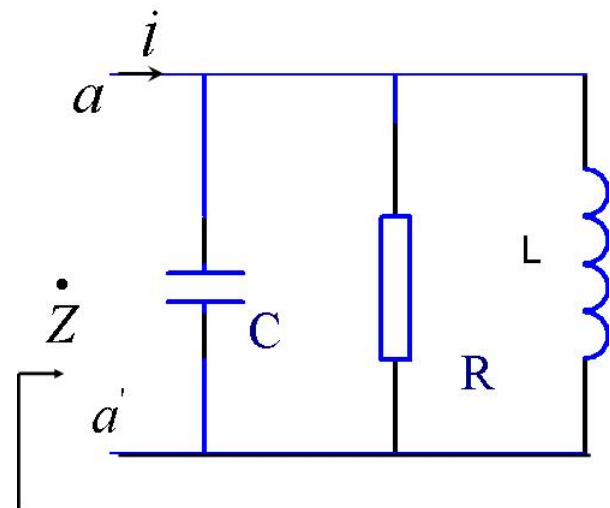
（或电容）吸收的无功功率与电阻消耗的有功功率之比

$$Q = \omega_0 RC = \frac{R}{\omega_0 L}$$

2.2 指数律特性分析



RLC并联谐振回路



$$\alpha = \frac{1}{2RC} = \frac{1}{2} BW \quad \text{半带宽}$$

$$\begin{aligned} \dot{Z} &= \frac{1}{\frac{1}{j\omega L} + \frac{1}{R} + j\omega C} = \frac{R}{1 + j\frac{\omega RC\omega_0}{\omega_0} + \frac{R\omega_0}{j\omega L\omega_0}} = \frac{R}{1 + jQ\frac{\omega}{\omega_0} - jQ\frac{\omega_0}{\omega}} \\ &= \frac{R}{1 + jQ\left(\frac{\omega}{\omega_0} - \frac{\omega_0}{\omega}\right)} = \frac{R}{1 + jQ\left(\frac{\omega^2 - \omega_0^2}{\omega\omega_0}\right)} \stackrel{\omega \rightarrow \omega_0}{\approx} \frac{R}{1 + j\frac{\omega - \omega_0}{\alpha}} \end{aligned}$$

2.2 指数律特性分析



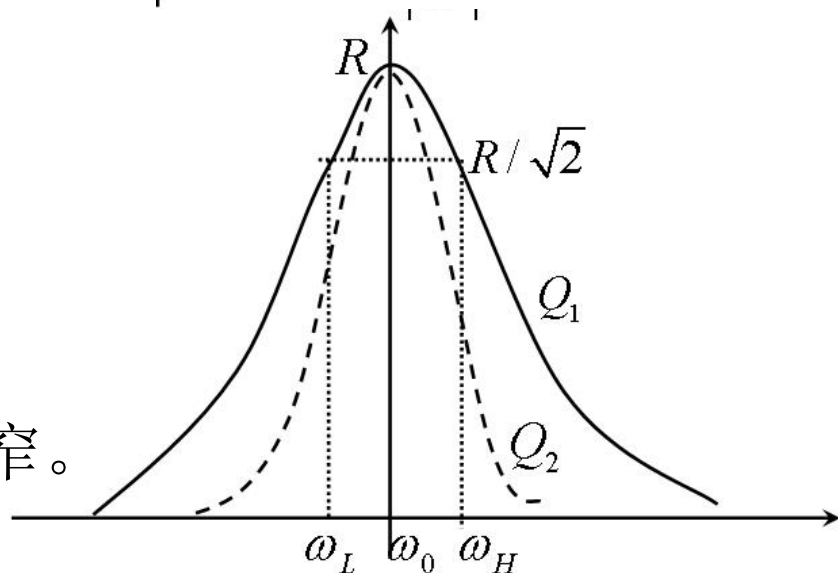
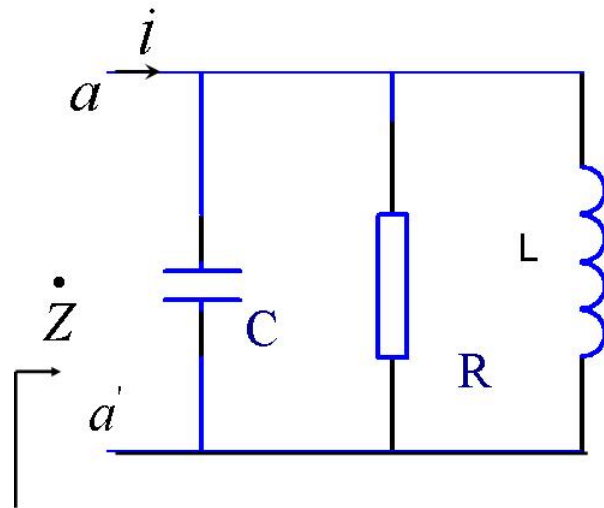
RLC并联谐振回路

幅频响应:

$$|Z| = \frac{R}{\sqrt{1 + Q^2 \left[\frac{\omega^2 - \omega_0^2}{\omega \omega_0} \right]^2}}$$

当 $\omega = \omega_0$ 时, $\dot{Z} = R$ -纯电阻

$BW = \omega_H - \omega_L = \frac{1}{RC}$, Q 越高, 带宽越窄。



2.2 指数律特性分析



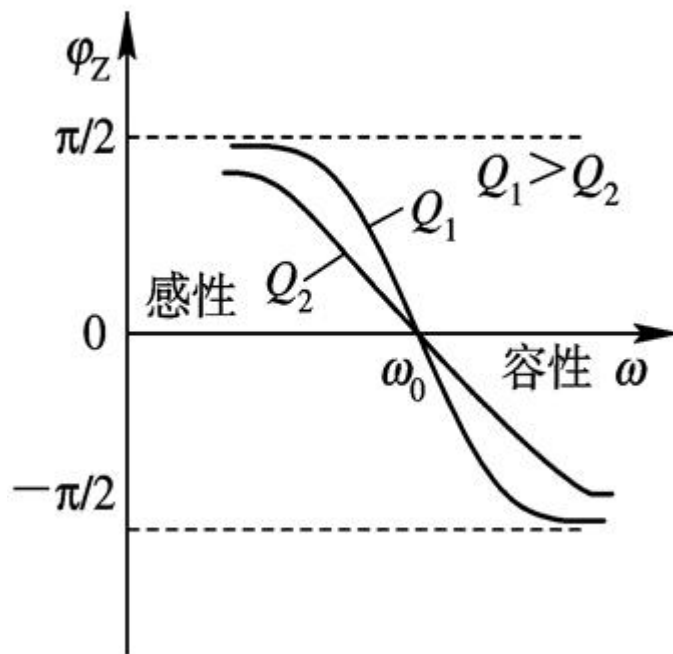
中国科学技术大学
University of Science and Technology of China

RLC并联谐振回路

相频响应：

$$\varphi_z = -\arctan Q \left[\frac{\omega^2 - \omega_0^2}{\omega\omega_0} \right]$$

当 $\omega = \omega_0$ 时， $\varphi_z = 0$ 。



RLC并联谐振回路特点：

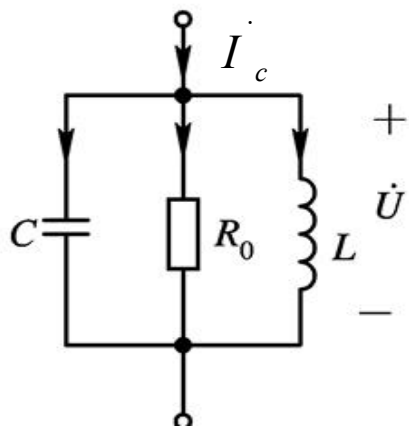
- (1) $\omega = \omega_0$ 谐振时，阻抗为最大值，呈纯电阻特性；
- (2) 谐振时，回路电流为（电感和电容中的电流）为输入电流（外部电路总电流）的Q倍。

2.2 指数律特性分析



中国科学技术大学
University of Science and Technology of China

RLC并联谐振回路提基波



$$i_C(\omega t) = I_{C0} + \sum_{n=1}^{\infty} I_{Cn} \cos n\omega t$$

回路电压=基波电压+二次谐波电压+...+
高次谐波+...

$$\dot{U} = \dot{U}_1 + \dot{U}_2 + \dots + \dot{U}_n + \dots$$

当RLC网络起滤波作用提取基波时，调谐RLC并联网络，使 ω_0 =基波频率。

两种失真：

- ①基波幅度与激励信号幅度的高次方项有关，这是一种非线性失真；
- ②高次谐波的存在对基波分离产生影响，这将引起所谓的谐波失真。

总谐波失真 (THD) 定义

提k次谐波：

$$THD_k = \sqrt{\sum_{\substack{n=1 \\ n \neq k}}^{\infty} \left(\frac{U_n}{U_k} \right)^2}$$

提基波：

$$THD_1 = \sqrt{\left(\frac{U_2}{U_1} \right)^2 + \left(\frac{U_3}{U_1} \right)^2 + \dots + \left(\frac{U_n}{U_1} \right)^2 + \dots} = \sqrt{\sum_{n=2}^{\infty} \left(\frac{U_n}{U_1} \right)^2}$$

2.2 指数律特性分析



RLC并联谐振回路提基波

指数律特性为例 $I_{C1} = \alpha I_{E0} \frac{2I_1(x)}{I_0(x)}, I_{Cn} = \alpha I_{E0} \frac{2I_n(x)}{I_0(x)}$

$$\therefore U_1 = I_{C1} R = I_{C1} | \dot{Z}(\omega_0) |$$

$$U_n = I_{Cn} | \dot{Z}(n\omega_0) | = I_{Cn} \frac{R}{\sqrt{1 + Q^2 \left[\frac{n^2 \omega_0^2 - \omega_0^2}{n \omega_0 \omega_0} \right]^2}} \approx I_{Cn} \frac{nR}{Q(n^2 - 1)}$$

$$\therefore THD_1 = \sqrt{\sum_{n=2}^{\infty} \left[\frac{I_{cn}}{I_{c1}} \left| \frac{\dot{Z}(n\omega_0)}{\dot{Z}(\omega_0)} \right| \right]^2} = \sqrt{\sum_{n=2}^{\infty} \left[\frac{I_n(x)}{I_1(x)} \frac{1}{Q} \frac{n}{n^2 - 1} \right]^2}$$

$$= \frac{1}{Q} \sqrt{\sum_{n=2}^{\infty} \left[\frac{I_n(x)}{I_1(x)} \frac{n}{n^2 - 1} \right]^2} = \frac{1}{Q} D(x)$$

$D(x)$ 为总谐波失真系数，
可查附录B(2) 表得到

2.2 指数律特性分析

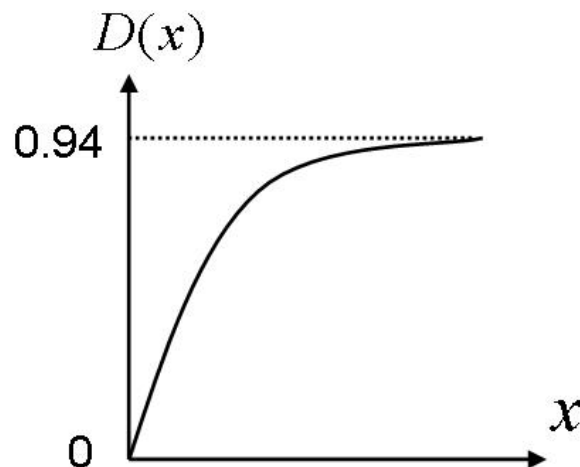


中国科学技术大学
University of Science and Technology of China

① $x \rightarrow 0$

$$D(x) = \sqrt{\sum_{n=2}^{\infty} \left[\frac{I_n(x)}{I_1(x)} \frac{n}{n^2-1} \right]^2} = \sqrt{\left[\frac{I_2(x)}{I_1(x)} \frac{2}{3} \right]^2 + \left[\frac{I_3(x)}{I_1(x)} \frac{3}{8} \right]^2 + \dots} \approx \sqrt{\left[\frac{I_2(x)}{I_1(x)} \frac{2}{3} \right]^2}$$

$$\approx \frac{I_2(x)}{I_1(x)} \frac{2}{3} = \frac{\frac{x^2}{8}}{\frac{x}{2}} \times \frac{2}{3} = \frac{1}{6} x \quad \text{失真很小}$$



② $x \rightarrow \infty$, (极限状态)

$$\frac{I_n(x)}{I_1(x)} = 1 \quad \Rightarrow \quad D(x) \rightarrow \sqrt{\sum_{n=2}^{\infty} \left(\frac{n}{n^2-1} \right)^2} = 0.94$$

$$\text{若 } Q = 30, \text{ 则 } THD = \frac{1}{30} \times 0.94 = 3\%$$

可见高次谐波所占比例很小，可忽略。

2.2 指数律特性分析



总 结

以高 Q_T 调谐回路为负载提取基波（也可提谐波）时，对基波电压的作用如同一个线性放大器，此线性放大器的电压增益与输入电压幅度有关。

指数律器件
为例

$$U_0 = I_{C1} R_L = G_{m1}(x) U_{be} R_L = G_{m1}(x) R_L U_{be} = A_u U_{be}$$

$$\left\{ \begin{array}{l} A_u = \frac{U_0}{U_{be}} = G_{m1}(x) R_L \\ G_{m1}(x) = \frac{\alpha I_{E0}}{U_r} \frac{2I_1(x)}{xI_0(x)} \end{array} \right.$$

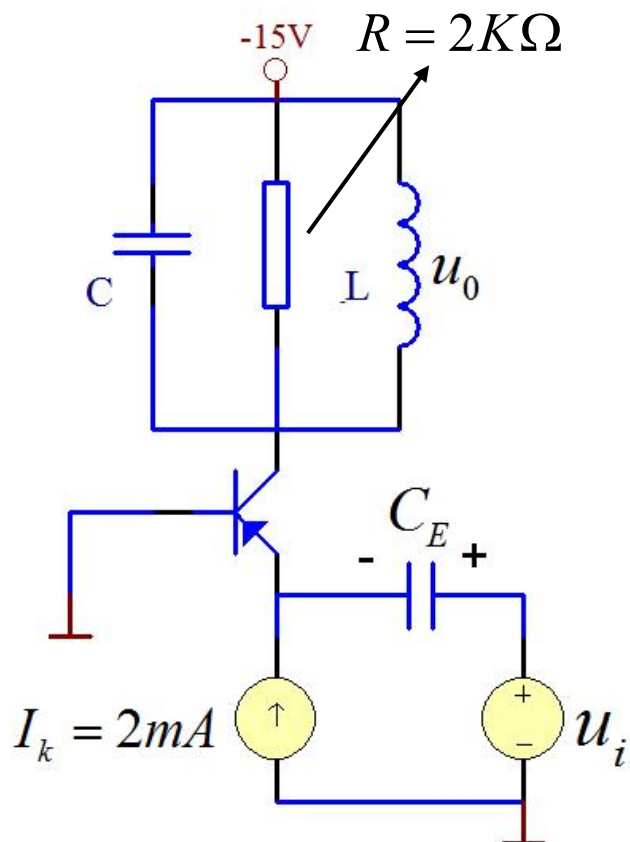
$$u_0(t) = G_{m1}(x) R_L U_{be} \cos \omega t$$

2.2 指数律特性分析



6. 指数律特性分析举例

例1：恒流偏置晶体管放大电路



已知： $I_{ES} = e^{-30} \text{mA}$, $Q_T > 10$,
 $\alpha = 0.98$, $u_i = 0.1 \cos \omega t (\text{V})$

输出回路调谐于输入信号上， C_E 容量足够大。

求：

- ① 集电极输出电压的表达式 u_o ；
- ② C_E 上稳态直流压降。

2.2 指数律特性分析



中国科学技术大学
University of Science and Technology of China

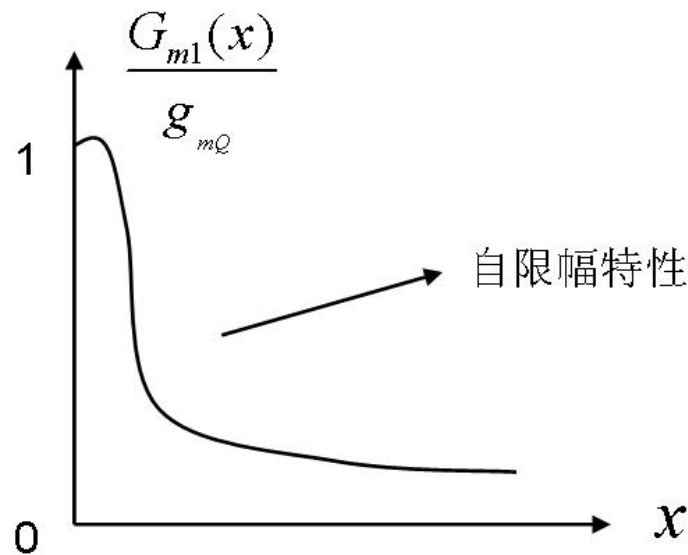
恒流偏置晶体管放大电路

解答: I_{E0} 与 x 无关, $I_{E0} = I_K$

$$\therefore g_{mQ} = \frac{\alpha I_{E0}}{U_r} = \frac{\alpha I_K}{U_r}$$

$$G_{m1}(x) = \frac{\alpha I_{E0}}{U_r} \frac{2I_1(x)}{xI_0(x)} = g_{mQ} \frac{2I_1(x)}{xI_0(x)}$$

$$\Rightarrow \frac{G_{m1}(x)}{g_{mQ}} = \frac{2I_1(x)}{xI_0(x)} - \text{归一化基波等效跨导}$$



(1) 静态时, I_K 向 C_E 充电, 达到 $-U_{CE0} = U_{EB}$ 时充电结束。

$$i_E = I_K = I_{ES} e^{\frac{U_{EB}}{U_r}} = I_{ES} e^{\frac{-U_{CE0}}{U_r}} \Rightarrow U_{CE0} = -U_r \ln \frac{I_K}{I_{ES}} = -26 \ln \frac{2}{e^{-30}} = -798 \text{ mV}$$

2.2 指数律特性分析

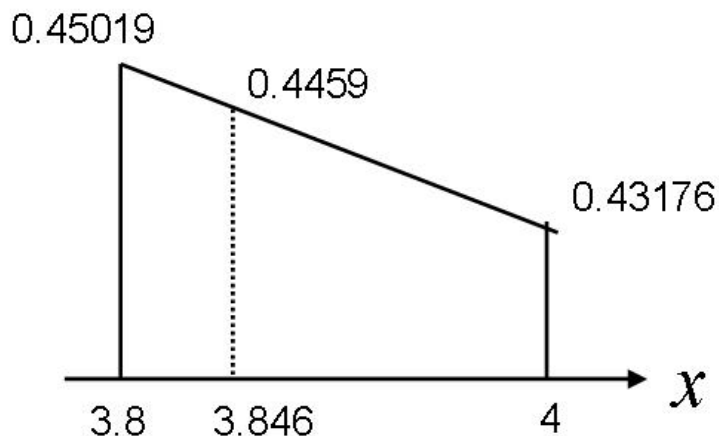


中国科学技术大学
University of Science and Technology of China

(2) 输入交流信号 $u_i = 0.1\cos\omega t(V)$

$$G_{m1}(x) = \frac{\alpha I_{E0}}{U_r} \frac{2I_1(x)}{xI_0(x)} \left\{ \begin{array}{l} x = \frac{U_i}{U_r} = \frac{0.1V}{26mV} = 3.846 \\ I_{E0} = I_{EQ} = I_K = 2mA \end{array} \right.$$

内插法求 $\frac{2I_1(x)}{xI_0(x)}$



$$y = \frac{2I_1(x)}{xI_0(x)}$$

$$= 0.45019 + \frac{0.43176 - 0.45019}{4 - 3.8} (x - 3.8)$$

$$\begin{aligned} x &= 3.846 \\ \Rightarrow y &= 0.4459 \end{aligned}$$

2.2 指数律特性分析



$$\therefore G_{m1}(x) = \frac{\alpha I_{E0}}{U_r} \frac{2I_1(x)}{xI_0(x)} = \frac{0.98 \times 2}{26} \times 0.4459 = 33.614 \text{ mS}$$

$$\begin{aligned} u_0 &= G_{m1}(x) R u_i - 15 = 33.614 \times 2 \times 0.1 \cos \omega t - 15 \\ &= -15 + 6.72 \cos \omega t (V) \end{aligned}$$

(3) C_E 上稳态直流压降

$$I_{E0} = I_{ES} e^{\frac{-U_{CE}}{U_r}} \quad I_0(x) = I_K$$

由附录B.1查 $\frac{I_0(x)}{e^x}$ 得:

$$\Rightarrow U_{CE} = -U_r \left[\ln \frac{I_K}{I_{ES}} - \ln I_0(x) \right]$$

$$I_0(3.8) = 0.2$$

$$I_0(4.0) = 0.2$$

由结果可见，当外加信号时，电容两端的静态电压会发生变化

$$\therefore I_0(3.846) = 9.51663 + \frac{11.3018 - 9.51663}{4 - 3.8} (3.846 - 3.8) = 9.9272$$

$$\therefore U_{CE} = -26 \left[\ln \frac{2}{e^{-30}} - \ln 9.9272 \right] = -798 + 26 \ln 9.9272 = -738 \text{ mV}$$

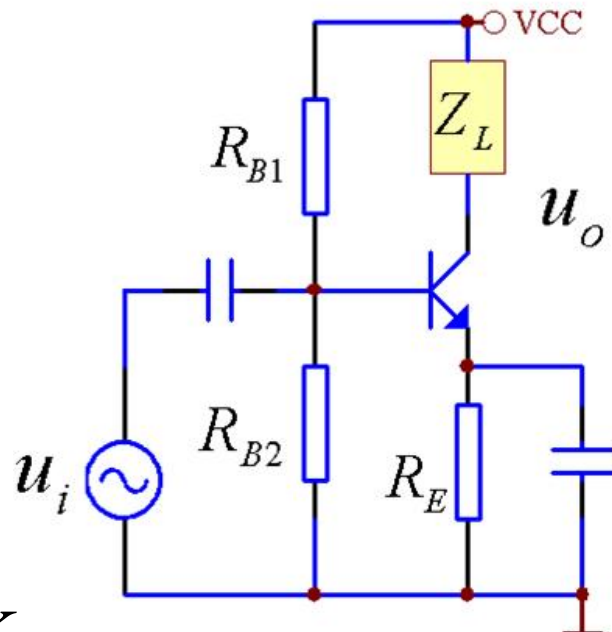
2.2 指数律特性分析



例2：电阻分压偏置晶体管放大电路

求图示电阻偏置晶体管放大器在 $x = 4$ 时的基波跨导 $G_{m1}(x)$ 和回路两端电压降之总谐波失真THD，设：

$$\left\{ \begin{array}{l} Q_T = 20, \alpha = 0.99 \\ R_E = 1K, V_{CC} = 12V, R_L = 2K \\ R_{B1} = 5.1K, R_{B2} = 1.5K \end{array} \right.$$



归一化基波跨导 $\frac{G_{m1}(x)}{g_{mQ}} = \left[1 + \frac{\ln I_0(x)}{x_\lambda} \right] \frac{2I_1(x)}{xI_0(x)}$

2.2 指数律特性分析



直流分析

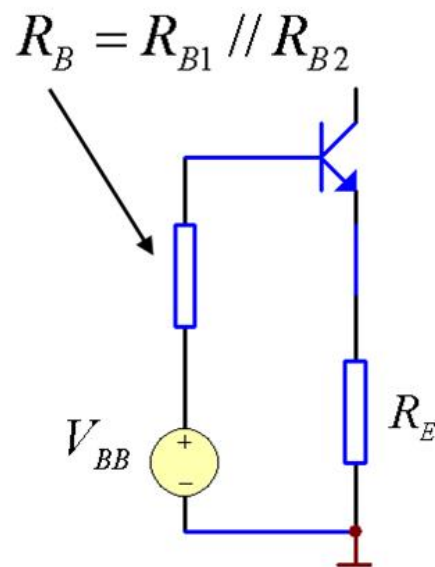
$$V_{BB} = \frac{R_{B2}}{R_{B1} + R_{B2}} V_{CC} = 0.7 + I_{EQ} R_E + I_{BQ} R_B$$

$$\Rightarrow I_{EQ} = \frac{V_{BB} - 0.7}{R_E + \frac{R_B}{1 + \beta}} = \frac{V_{BB} - 0.7}{R_E + (1 - \alpha) R_B}$$

$$I_{CQ} = \alpha I_{EQ} \Rightarrow g_{mQ} = \frac{\alpha I_{EQ}}{U_r} = \frac{I_{CQ}}{U_r}$$

$$x_\lambda = \frac{U_\lambda}{U_r} = \frac{V_{BB} - 0.7}{U_r} = \frac{I_{EQ} R_E + (1 - \alpha) R_B I_{EQ}}{U_r} = \frac{I_{EQ} R_E + I_{BQ} R_B}{U_r}$$

$$U_\lambda = I_{EQ} [R_E + (1 - \alpha) R_B] = V_{BB} - 0.7$$



2.2 指数律特性分析



中国科学技术大学
University of Science and Technology of China

解答:

$$I_{EQ} = \frac{\frac{1.5}{5.1+1.5} \times 12 - 0.7}{R_E + (1-\alpha)(5.1 // 1.5)} = \frac{2.27 - 0.7}{1 + 0.01 \times 1.16} = 1.55 \text{mA}$$

$$g_{mQ} = \frac{\alpha I_{EQ}}{U_r} = \frac{0.99 \times 1.55}{26} = 59.2 \text{ms} \quad x_\lambda = \frac{U_\lambda}{U_r} = \frac{2.27 - 0.7}{26} = 60.38$$

$$G_{m1}(x) = g_{mQ} \left[1 + \frac{\ln I_0(x)}{x_\lambda} \right] \frac{2I_1(x)}{xI_0(x)}$$

$$\Rightarrow G_{m1}(4) = 59.2 \times \left[1 + \frac{\ln 11.3}{60.38} \right] \times 0.43176 = 26.59 \text{ms}$$

查表得:

$$\left\{ \begin{array}{l} I_0(4) = 11.3 \\ \frac{2I_1(x)}{xI_0(x)} = 0.43176 \\ D(x) = 0.4588 \end{array} \right.$$

$$THD = \frac{1}{Q_T} D(x) = \frac{1}{20} \times 0.4588 = 2.3\%$$

$$u_o = V_{CC} - G_{m1}(4)R_L \cdot 4 \cdot 0.026 \cos \omega t = 12 - 5.53 \cos \omega t (V)$$

2.2 指数律特性分析



中国科学技术大学
University of Science and Technology of China

指数律电路分析程序：

电路模型 → 正弦信号激励下电流波形

→ *Fourier*展开得到各次谐波的表达式

$$\rightarrow G_{m,k} = \frac{I_k}{U_i} \text{ (尤其是 } G_{m1}(x) = \frac{\alpha I_{E0}}{U_r} \cdot \frac{2I_1(x)}{xI_0(x)} \text{)}$$

→ 查表得到 $D(x)$

$$\rightarrow THD_1 = \frac{1}{Q_T} D(x)$$

$$\rightarrow U_1 = I_1 R_L = G_{m1}(x) U_i R_L$$

2.2 指数律特性分析



中国科学技术大学
University of Science and Technology of China

- 作业：2.1, 2.2 (1), 2.3